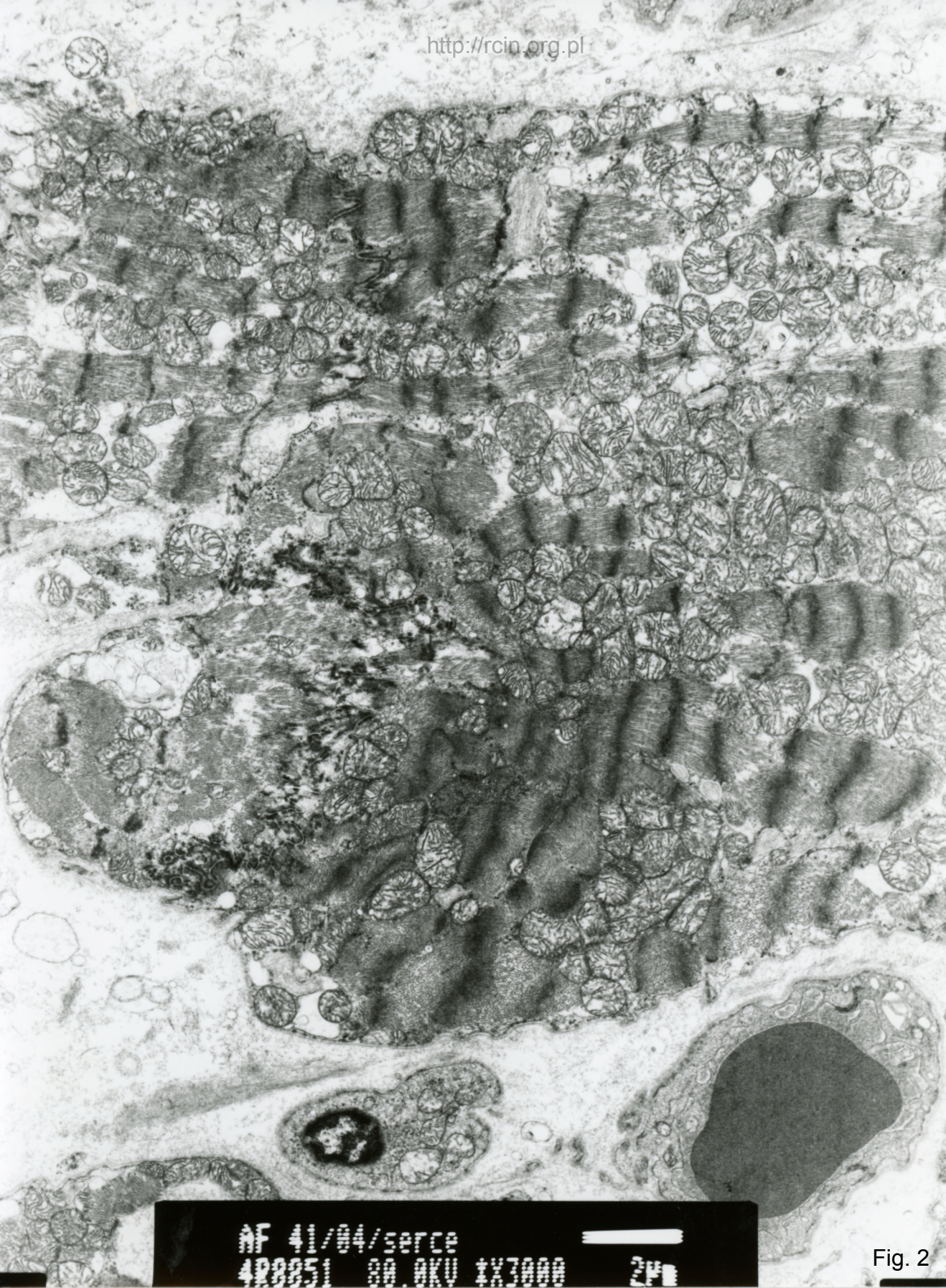




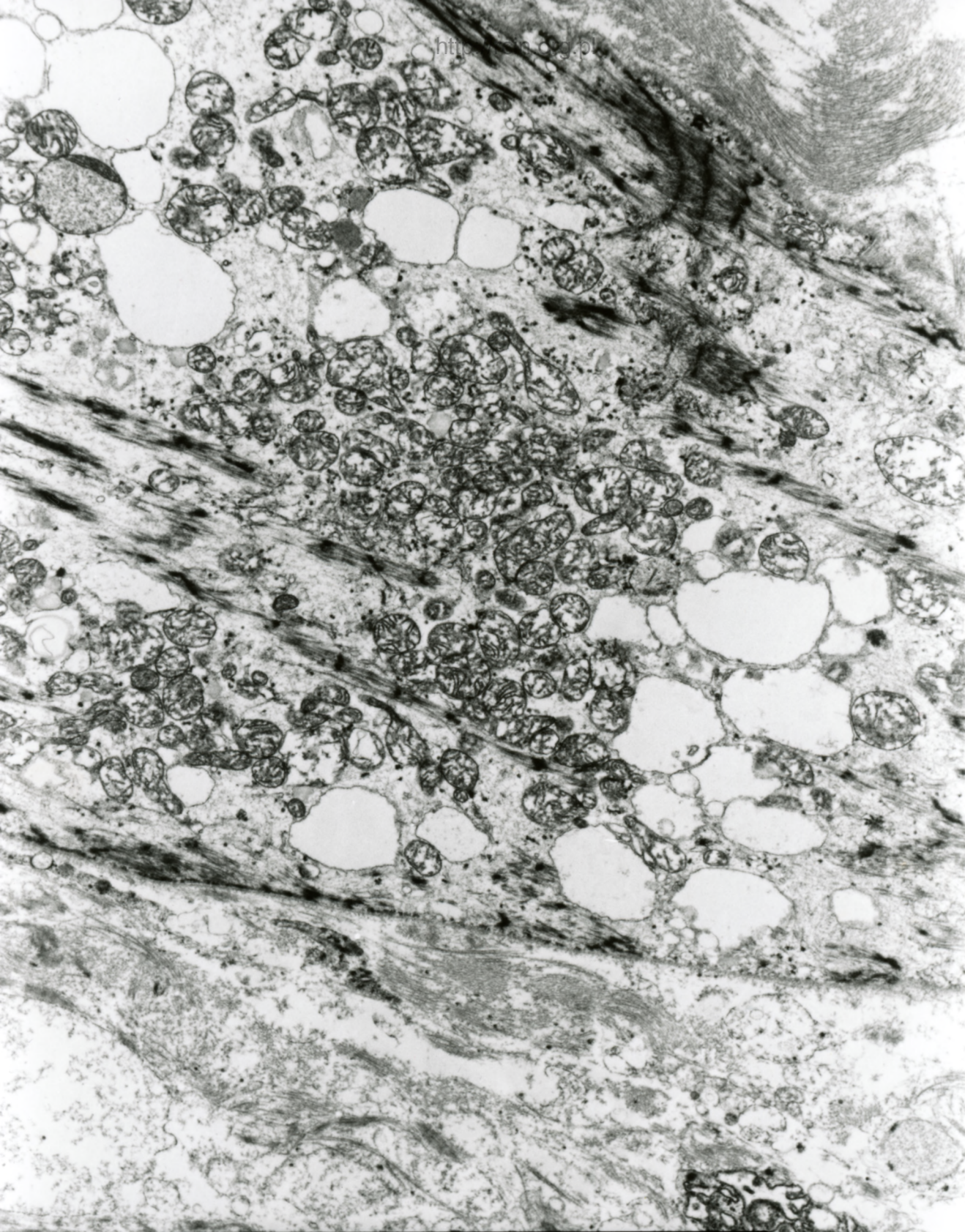
AF 41/04/serce
402253 80 AKU 1X3000 2P

Fig. 1



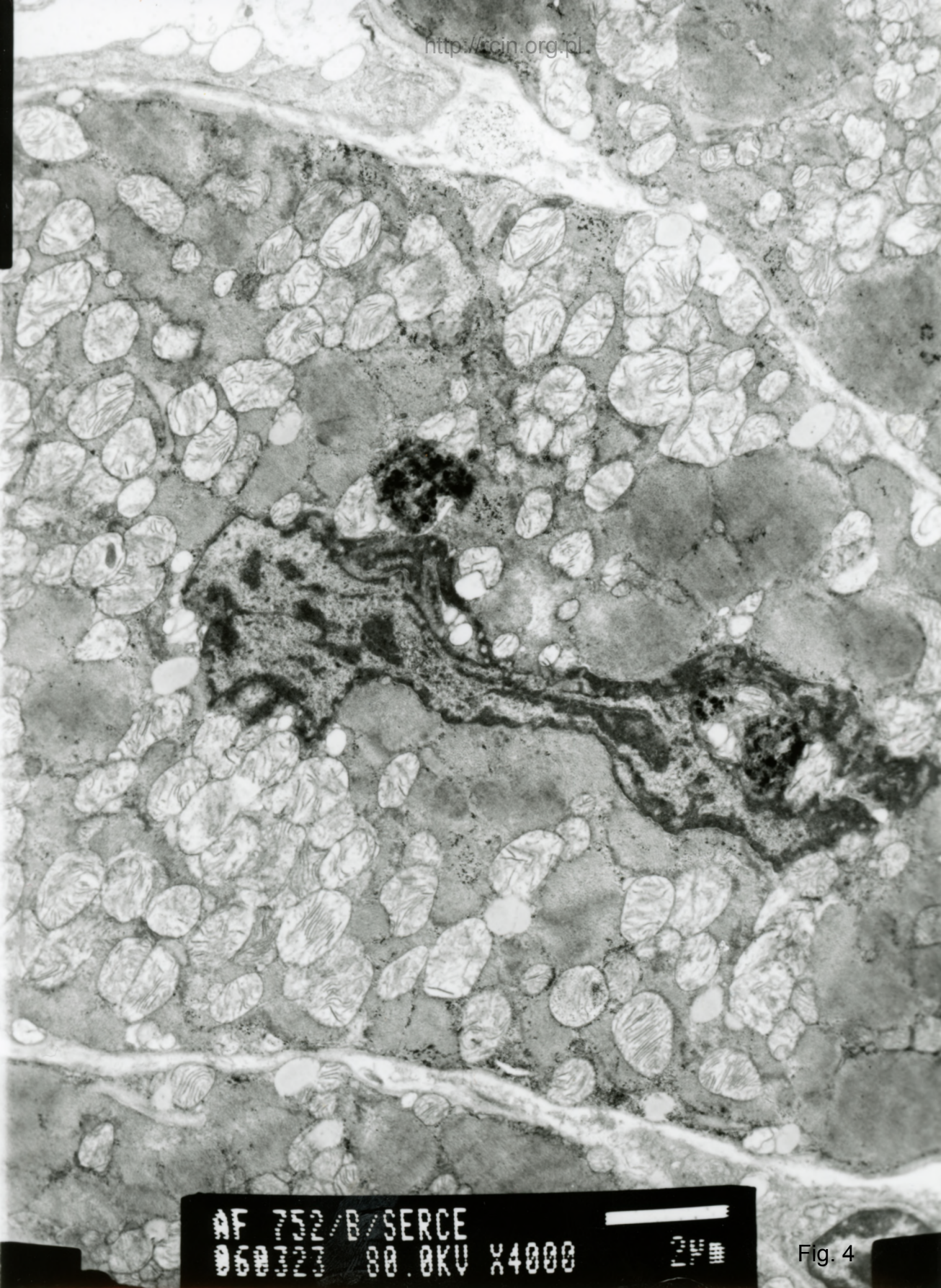
AF 41/04/serce
400051 80.0KV 1X3000 2µm

Fig. 2



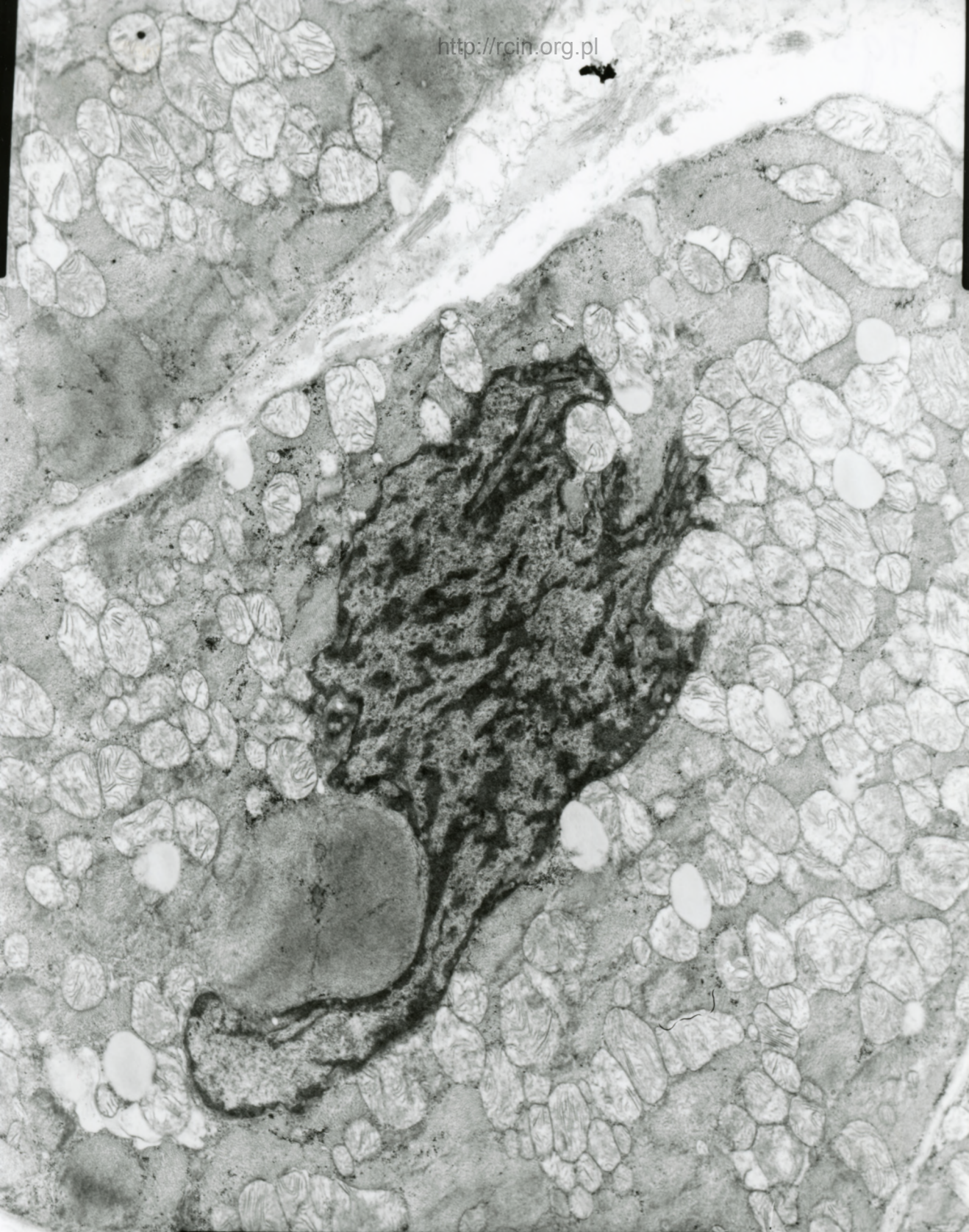
AF 41/04/serce
40052 30 KVU 1X7000 20µ

Fig. 3



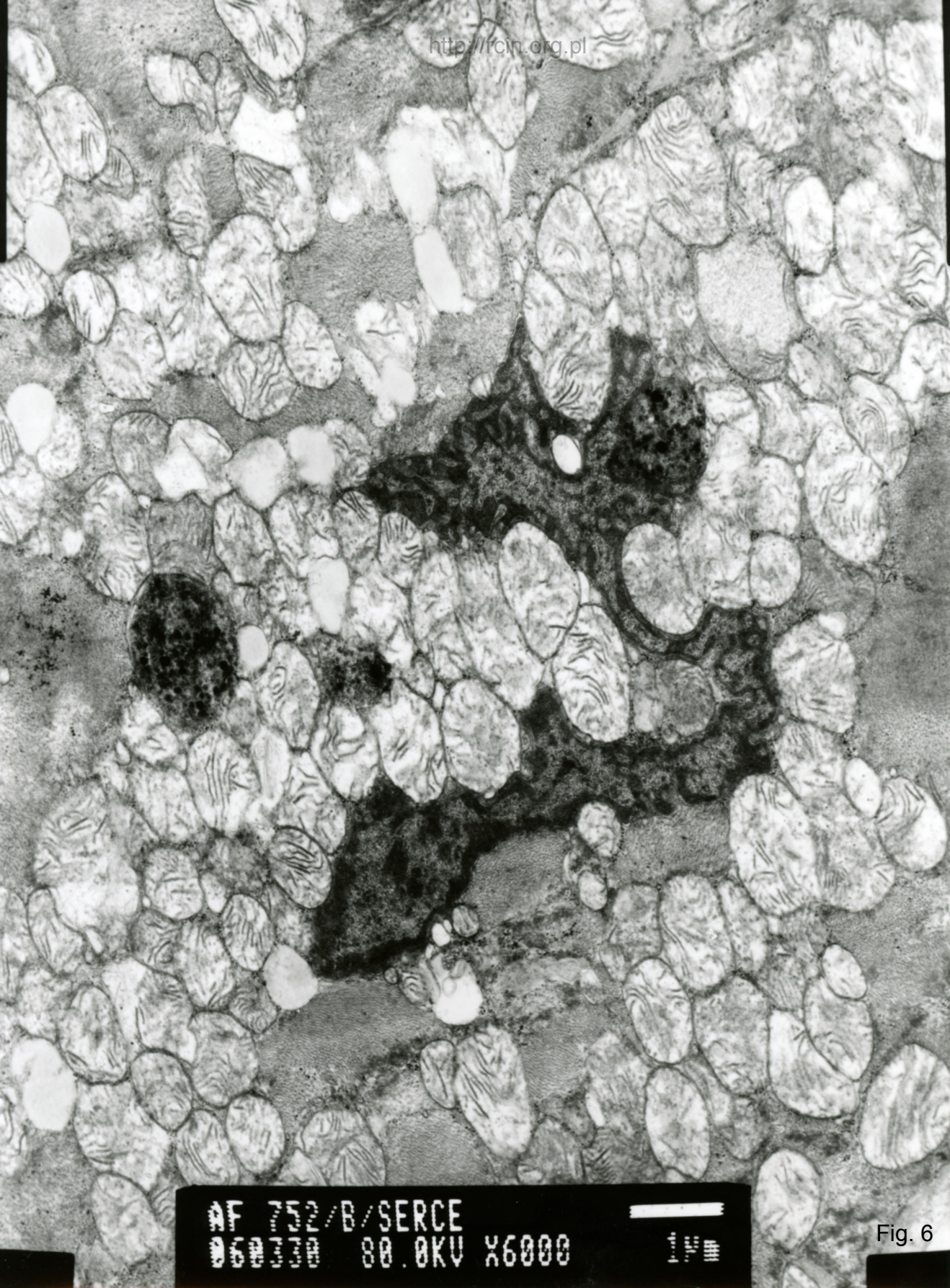
AF 752/B/SERCE
060023 80.0KV X4000 2µm

Fig. 4



AF 752/B/SERCE
060129 80.0KV X4000 25

Fig. 5



AF 752/B/SERCE
060300 80.0KV X6000

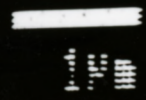
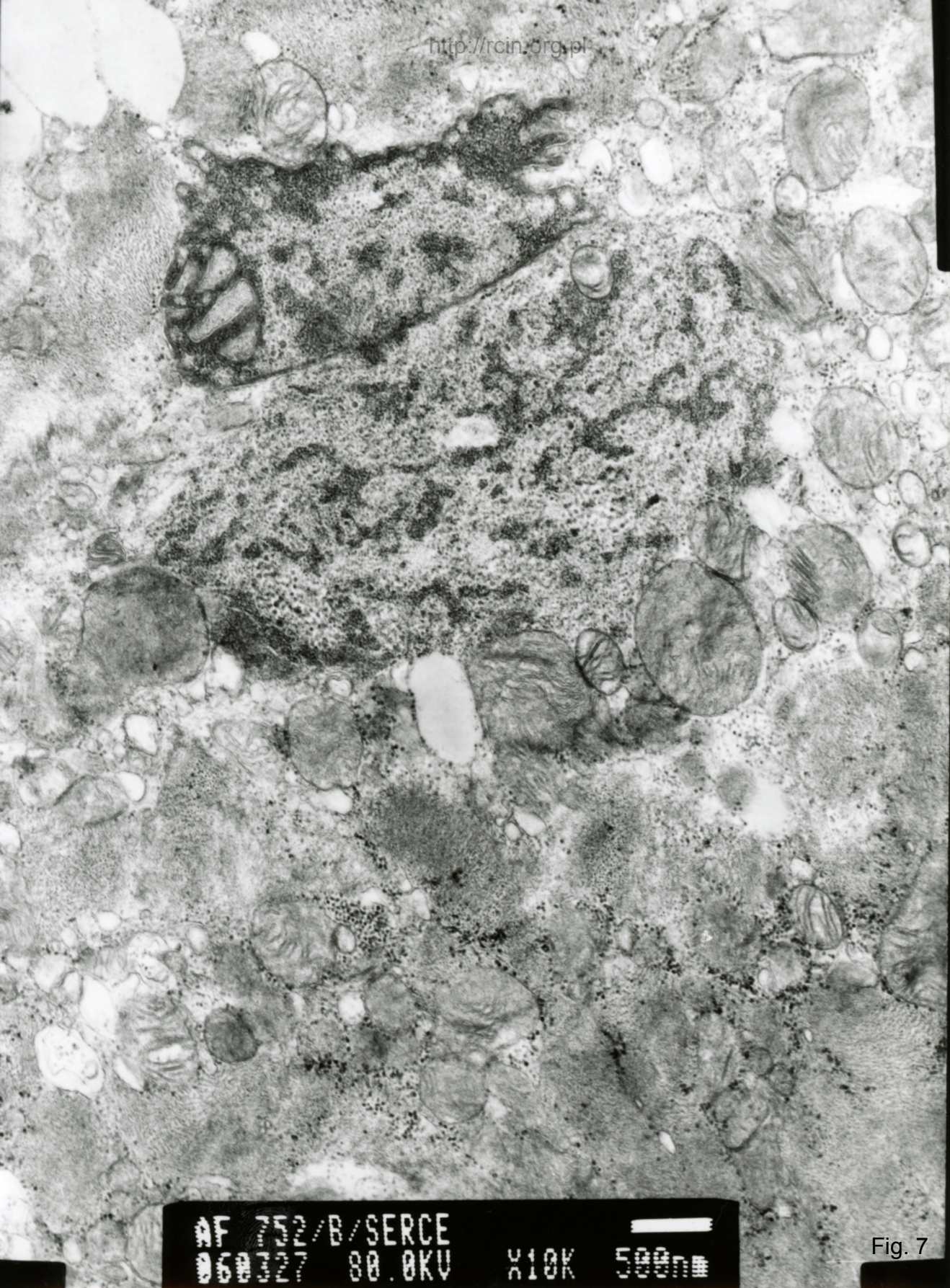
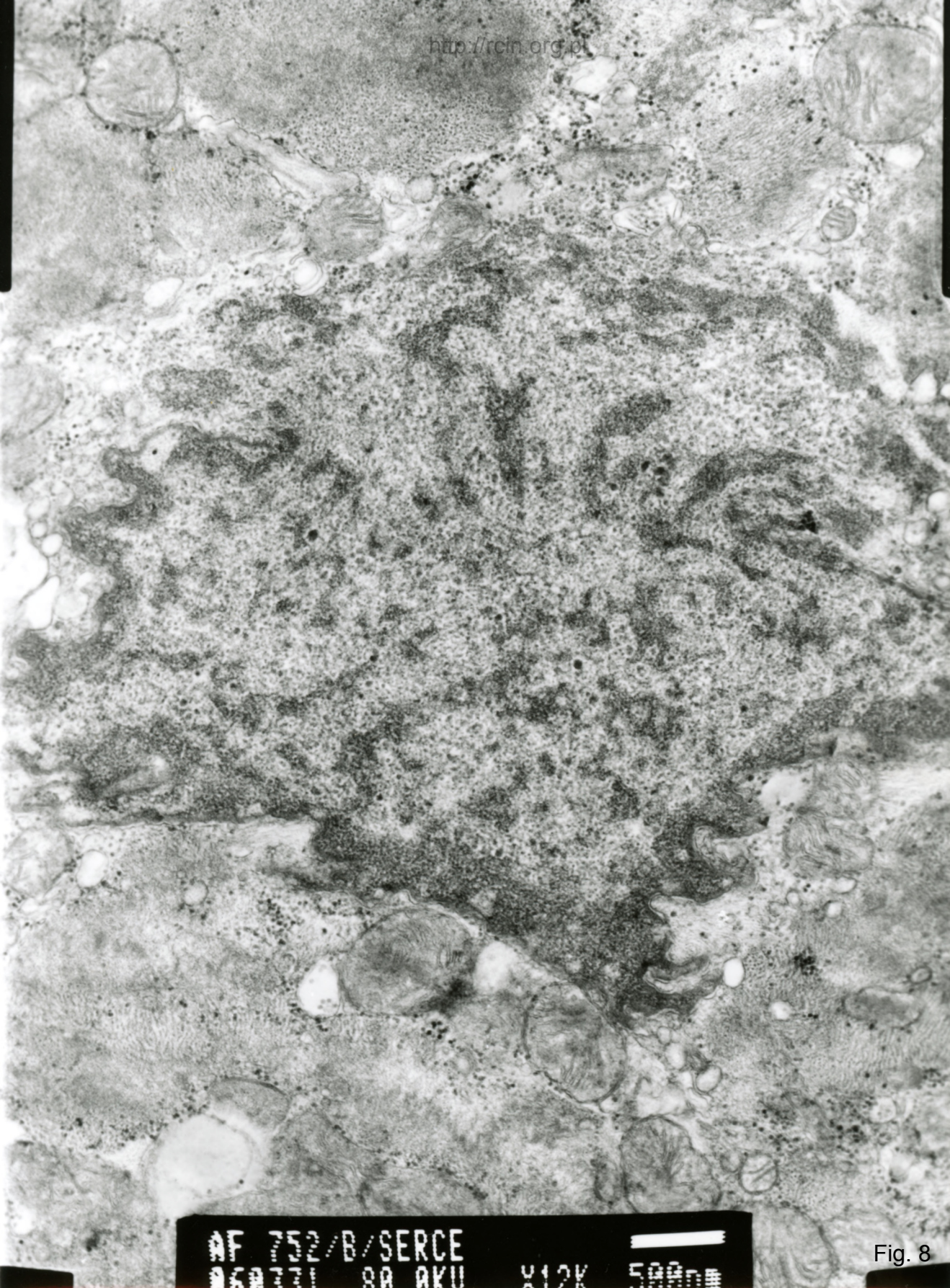


Fig. 6



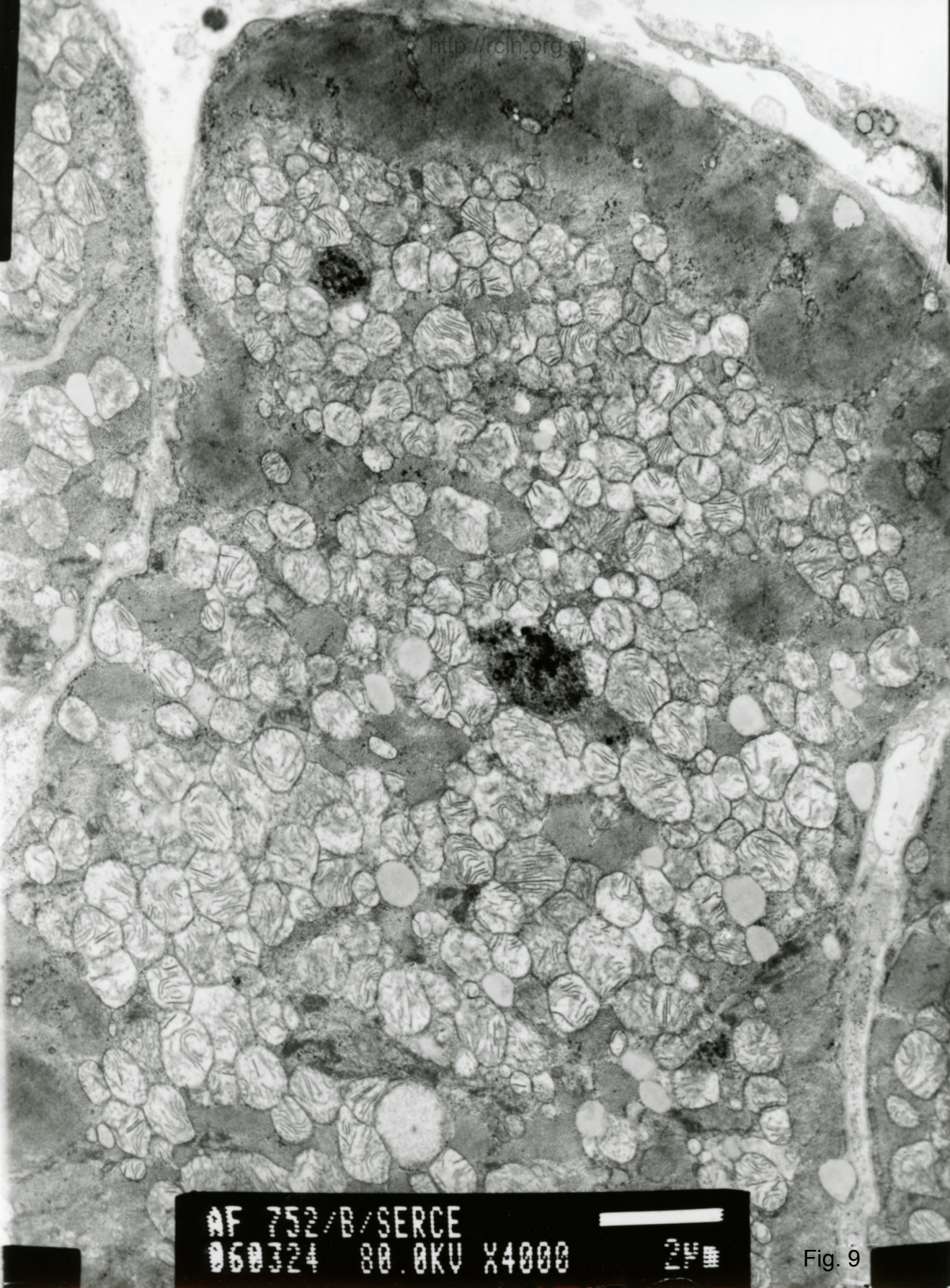
AF 752/B/SERCE
060327 80.0KV X10K 500nm

Fig. 7



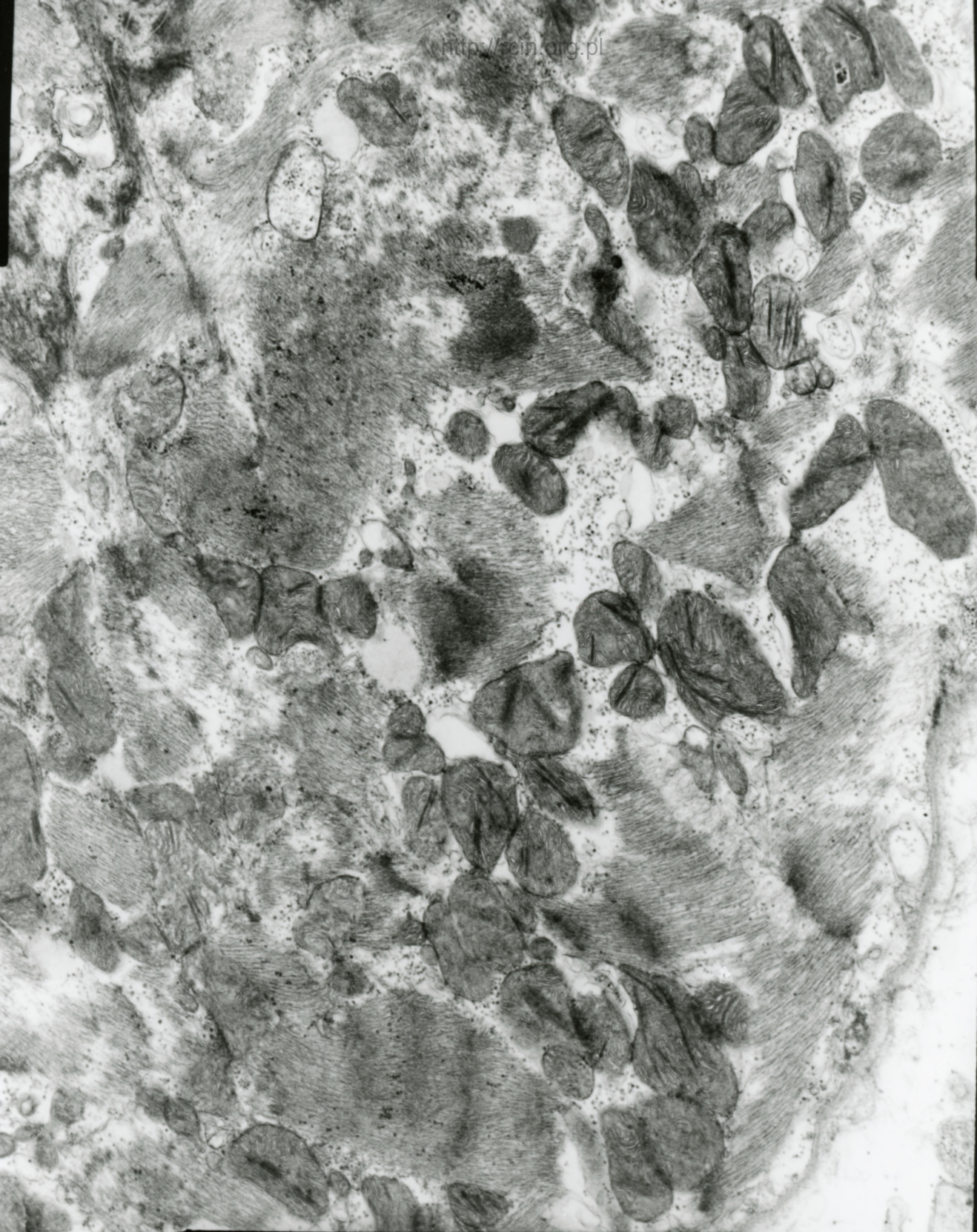
AF 752/B/SERCE
060731 80 AKU X12K 500nm

Fig. 8



AF 752/B/SERCE
060324 80.0KV X4000 24

Fig. 9



AF 752/B/SERCE
060326 80.0KV X7500

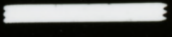
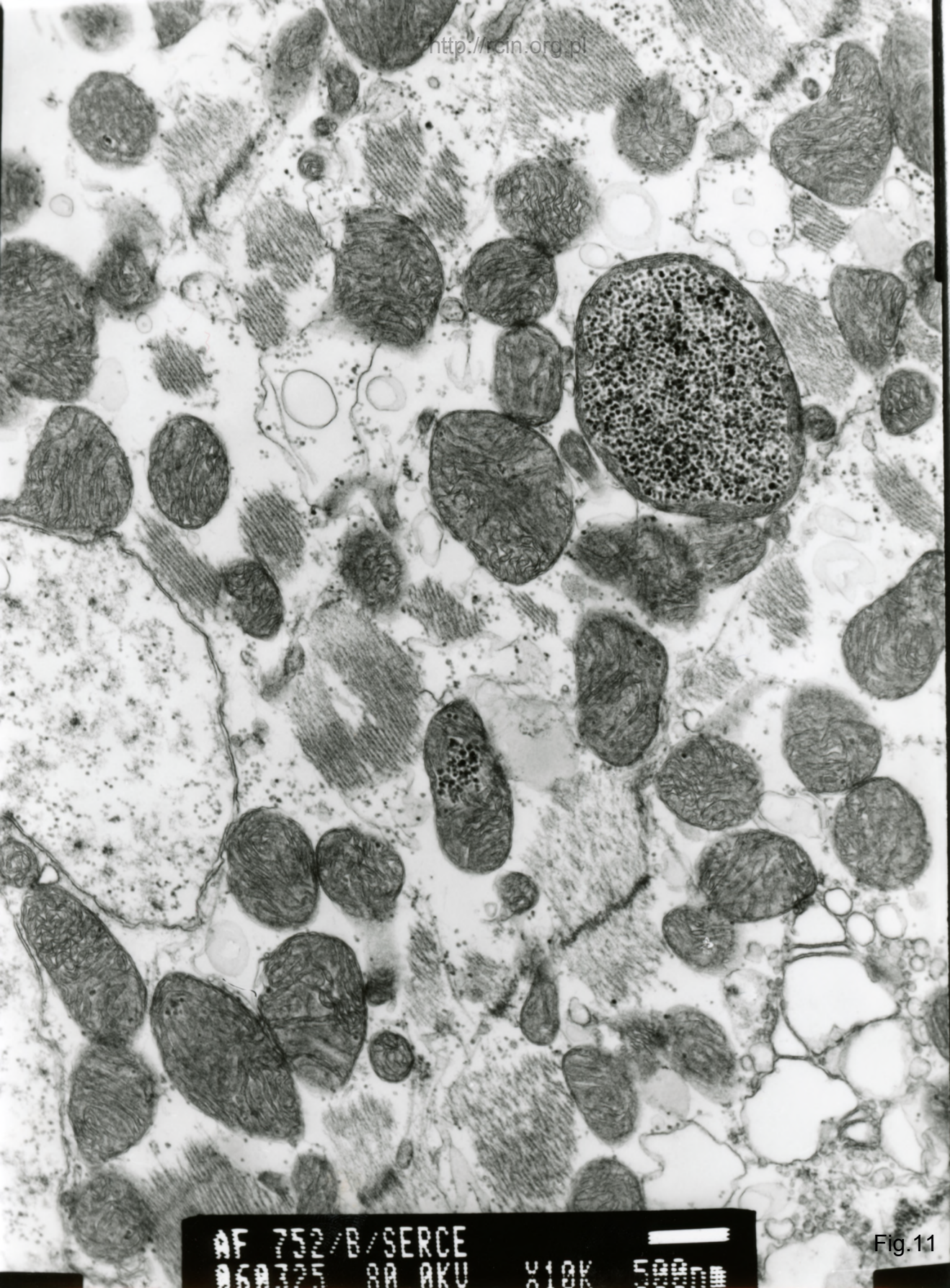
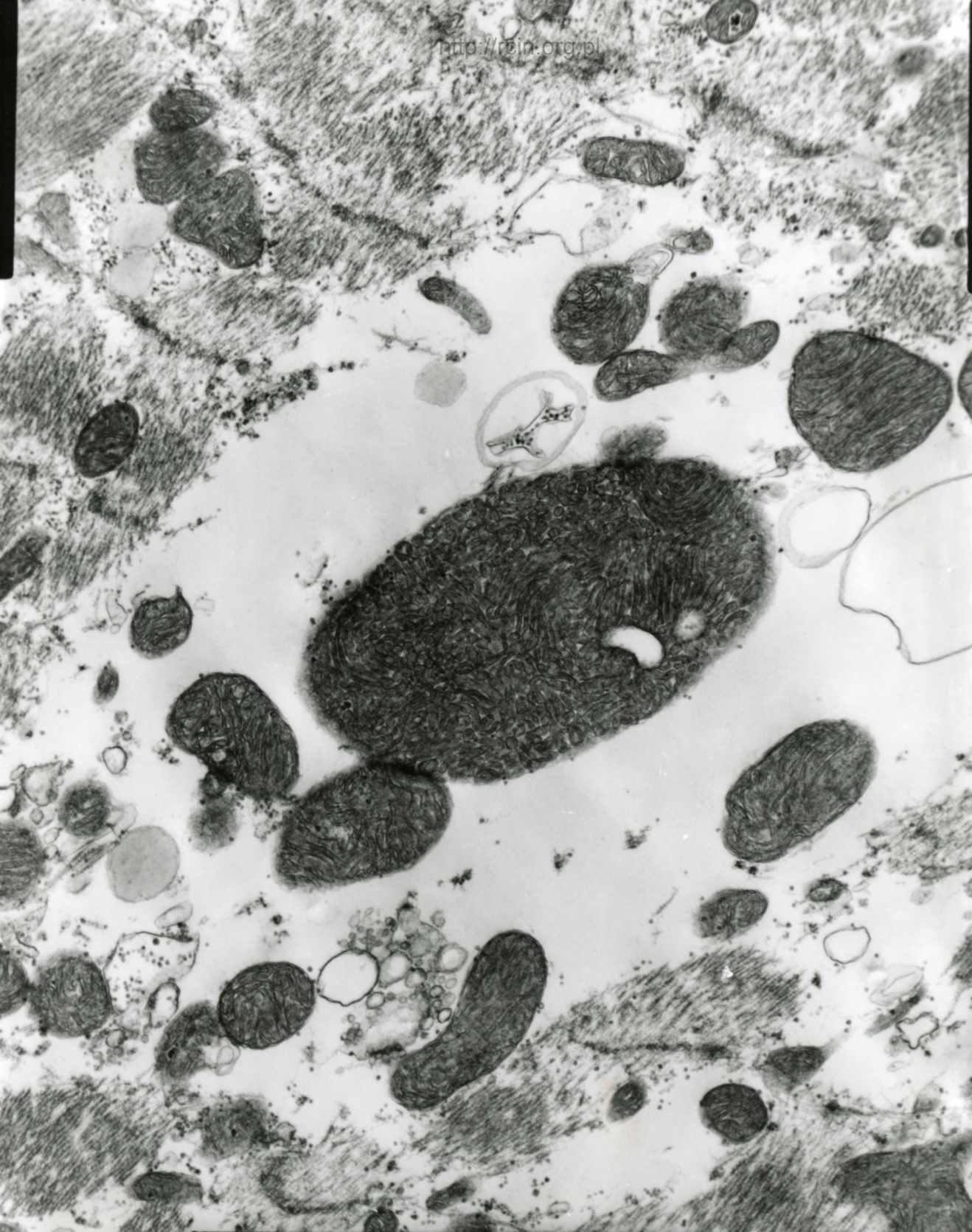


Fig.10



AF 752/B/SERCE
060725 88 AKU 010K 5000#

Fig.11



AF 752/B/SERCE
060322 80.0KV X10K 500nm

Fig.12

752 (41/04)

Kardiomiopatia rozstrzeniowa

Analiza ultrastrukturalna wykazała szereg nieprawidłowości w budowie kardiomiocytów. Obserwowano zmieniony układ sarkomerów, dezorganizację miofibryli, a wielu obszarach ich całkowity zanik. Widoczne mitochondria częściowo pozbawione grzebieni, W przestrzeni zewnątrzkomórkowej występowała obficie tkanka łączna (Fig. 1-3). Jądra kardiomiocytów miały nieprawidłowy kształt, otoczka jądrowa była pofałdowana, z licznymi wgłobieniami, w niektórych przypadkach przerwana, mitochondria charakteryzowały się jasną macierzą i ubytkiem grzebieni (Fig. 4-9). Obserwowano również mitochondria o ciemnej macierzy mitochondrialnej, zawierające w swym wnętrzu charakterystyczne wtręty lub glikogen, a także mitochondria tzw. olbrzymie, wielokrotnie większe od normalnych (Fig. 10-12).

Dilated cardiomyopathy

Ultrastructural analysis revealed a number of abnormalities in the cardiomyocytes structure. Changed sarcomere pattern, disorganization of myofibrils and in many areas their complete atrophy were observed. Mitochondria partially devoid of mitochondrial cristae were seen in the sarcoplasm and connective tissue was abundant in the extracellular space (Figs. 1-3). Cardiomyocyte nuclei were abnormally shaped, nuclear envelope was corrugated, with numerous indentations, and in some nuclei broken. Mitochondria were characterized by bright matrix and partial loss of cristae (Figs. 4-9). Mitochondria with a dark mitochondrial matrix, containing characteristic inclusions or glycogen in their interior, as well as giant mitochondria, many times larger than normal, were also observed (Figs. 10-12).